

頻率和有功功率的 自动调节

(脉冲式調整器)

苏联П.П.奧斯特雷著

电力工业出版社

序

最近的10—15年以来，作者所設計的頻率和有功功率調整器在苏联的許多动力系統中得到了广泛的应用①。

本書的目的是要把苏联动力系統中应用这种調整器的經驗介紹給讀者。

書中闡明下列問題：

a) 頻率和功率的調節原理；

b) 調整裝置的設計；

c) 調整裝置的整定和运行。

本書是以作者在苏联的动力系統中研究、試驗和使用調整器的經驗作为基础的。

由于本書的篇幅所限，作者不能够充分地闡述关于頻率和功率調節的所有問題。特別是書中关于調節理論的問題远比实际問題所佔的篇幅为小。因此，在書中列出了参考文献的索引，从这些文献中讀者可以較詳細地了解調節的理論。

B. H. 列文，評閱者 B. I. 多曼斯基教授和 B. A. 罗曼諾夫教授以及編輯 A. A. 沃羅諾夫和 A. C. 烏謝爾审查了原稿并給与了宝贵的指示，作者表示感謝。

关于本書內容的所有意見与希望，請寄到列寧格勒，聂伏斯基 28，Л. О. 国立动力出版社。

作 者

① 見 П. П. 奧斯特雷發明权證書 55293 号——“交流發电机的自動頻率調整裝置”，1939。

目 录

概論	4
第一章 利用透平机調速器实现的动力系統的頻率調節	8
1-1. 透平机的調速器	8
1-2. 調速器的特性	10
1-3. 机組間負荷冲勁的分配	16
1-4. 調節特性曲綫的移动範圍	20
1-5. 頻率变化的特性	22
1-6. 結論	23
第二章 动力系統的靜态与动态特性	26
2-1. 总論	26
2-2. 动力系統全部机組的有效調節有差度	26
2-3. 負荷調節效应	29
2-4. 动力系統的靜态特性	30
2-5. 动力系統的动态特性	35
2-6. 結論	46
第三章 动力系統靜态与动态特性的試驗决定法	49
3-1. 总論	49
3-2. 动力系統中全部机組的有效調節有差度(K_1)之决定	52
3-3. 动力系統靜态負荷特性(K_2)之决定	54
3-4. 主导机組功率的变化速度与数值 T_2 之决定	56
3-5. 动力系統頻率的变化速度与数值 T_1 之决定	57
3-6. 机組变速机构电动机的轉速之决定	58
3-7. 为使机組功率改变 1 兆瓦所必需的电动机轉數(N)之决定	59
3-8. 根据試驗所得的数据来决定 K_1 、 K_2 、 T_1 及 T_2 之值	60
3-9. 結論	63
第四章 动力系統中頻率和有功功率的自動調節	63

4-1. 自动调节的方法	64
4-2. 主导电厂间负荷分配的准确度	76
4-3. 频率调整器不灵敏区(ϵ^*)的选择	77
4-4. 结论	82
第五章 “电力盘”工厂生产的自动频率调整器和自动有功功率调整器	86
5-1. 调整器构造上的特点	86
5-2. 自动频率调整器	90
5-3. 自动功率调整器	94
5-4. PO-1型调整器的技术数据	96
5-5. PO-2型调整器的技术数据	97
5-6. 结论	97
第六章 频率和有功功率自动调整装置的安装设计	98
6-1. 总论	98
6-2. 动力系统中主导电厂(按频率)的选择	99
6-3. 自动调整装置的选择	101
6-4. 调整装置的结线图	104
第七章 脉冲式频率调整器和功率调整器的整定和投入运行	110
7-1. 准备工作	110
7-2. 调整器的整定	111
7-3. 频率调节过程的整定	114
7-4. 单一机组功率调节过程的整定	127
第八章 PO-1型和PO-2型频率与功率调整器的运行	128
8-1. 总论	128
8-2. PO-1型自动频率调整器与PO-2型自动功率调整器的 维修说明书	130
8-3. PO-1型自动频率调整器的运行说明书	131
8-4. PO-2型自动功率调整器的运行说明书	132
附录 关于确定水力机组负荷变化的时间常数(T_{20})和透 平机组负荷变化的时间常数(T_{11})的一些试验结果	134
参考文献	138

概 論

隨着蘇聯國民經濟電氣化事業的發展，生產電能以及將它輸送到用戶處的过程的自動化獲得日益廣泛的應用。

過去用手將電壓、頻率和有功功率保持在一定水平上的方法滿足了運行的條件，現在這種方法已經不能滿足了。

自動電壓調整器，自動重合閘裝置，動力系統事故自動減負荷裝置及其他裝置等的廣泛應用可以視為採用自動裝置的光輝範例。

隨着電廠和電網的自動化，動力系統中頻率和有功功率的自動調節具有愈益重大的意義。幾乎所有的電能用戶都提出了將所發交流電流的頻率保持在 50 ± 0.5 赫茲範圍內的要求，這個範圍是技術運行規程（見 § 1087①）所允許的。從動力系統本身來看，對於保持頻率不變的要求還要更加嚴格，並且隨着動力系統的擴大，這些要求更加提高了。

大家都知道〔參考文獻 13, 14, 18〕，機組頻率和有功功率的自動調節保證着：

- a) 火力發電廠及水力發電廠電能生產的經濟性的提高；
- b) 電能質量的提高；
- c) 發電廠各機組之間以及當發電廠和系統并列運行時，發電廠和系統之間負荷的正確與經濟分配；
- d) 發電廠和系統并列運行時穩定條件的改善；
- e) 值班人員勞動強度的減輕。

在一般的負荷變化情況下，用手調節頻率可以維持頻率

① 參閱我國電力工業技術管理暫行法規 § 1077。——譯者

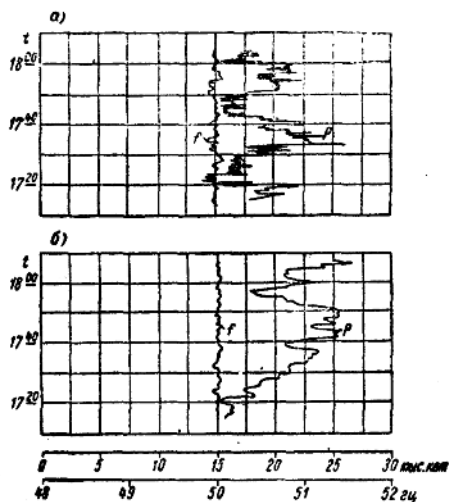


圖 1 手動(a)與自動(b)頻率調節的曲線圖
—f—頻率；—P—機組負荷。

在 50 ± 0.2 赫芝的水平上。这个准确度是靠值班人員用令人疲乏的劳动来达成的，他要用特別仔細的态度來調節。

頻率調節過程的自動化可以保證很高的調節準確度，其值能達到 50 ± 0.01 赫芝左右①，并且也解除了值班人員疲憊的劳动。

为了对調節方法进行比較与評价，在圖 1 中列出了手动与自动頻率調節的曲綫，其中还表示了主导机組的負荷变化。

手动頻率調節是依靠在透平机附近直接对其調速器施以作用，或借助于移动調速器特性曲綫的电力驱动机构在远处

① 必須指出，实际上这样高的准确度是不必要的，而在某些情况下（例如，当調整频率的机組台数不多时）甚至是是有害的。

对透平机調速器施以作用來实现的。

主导电厂的值班人员观察着频率表的读数，当频率变化时，改变机组的负荷，从而对频率进行调节。

自动频率调节是利用对调速器发生作用（其作用与手动调节相似）的调整装置来实现的。

调整装置包括着频率调整器、功率调整器、中间继电器和其他的辅助设备（控制键、按钮、信号器具、等等）。

频率和功率调整器具有测量频率和功率对于给定值的偏差的测量元件和作用于移动机组调速器特性曲线的电力驱动机构的执行元件[参考文献4]。当被测量（频率、功率）对给定值发生偏差时，调整器即改变机组的负荷。

在自动调节的实践中，主要应用着下述几种调节方法：

1) 利用透平机调速器，按其有差特性曲线来调节频率；
2) 利用调整装置按照系统的积分角来调节频率，其指标是电鐘对天文鐘的偏差值。

3) 按照频率的瞬间偏差来调节频率（在给定的水平上调节或按照频率调整器的有差特性曲线来调节）；

4) 按照三个读数（频率、功率和时间）来综合地调节频率；

5) 按照两个读数（线路的负荷和频率）来调节具有系统间交换功率的监察装置的联合动力系统的频率；

6) 按经济指标来调节系统的频率和各机组的负荷。

上述的自动调节方法是用透平机的调速器来实现的或将其与自动频率调整器组合在一起实现[参考文献1—3]。

调整器的调节作用是由测量出来并经转换以后的频率，负荷与时间的数值所产生的。

调整器可能作成連續作用的，也可能作成断續作用的[参考文献4, 13, 18]。

連續作用的頻率調整器[參考文獻 19]，只是在最近才開始采用，目前還只安裝在某些少數動力系統中，而在大多數發電廠和系統中運用的則是業已長時期運用的斷續作用的(脈沖式的)頻率調整器。

脈沖式調整器於 1937 年第一次裝設在斯維爾斯基水電站。由於此後在系統中成功地运用了這種調整器，故引起了在工廠的條件下進行製造的必要性。

以下將研究應用由“電力盤”工廠出品的 PO-1 及 PO-2 型調整器來調節發電機的頻率和有功功率的問題。然而所闡述的材料中絕大部分也可以在採用其他型式的調整器時應用。

第一章 利用透平机調速器实现的 动力系统的频率调节

1-1 透平机的調速器

在現时，有差离心式調速器是在实际中应用的唯一类型的原动机調速器。动力系統中几乎全部透平机沒有例外地都用这种类型的調速器。

沒有調速器，則蒸汽透平和水輪机的工作是不可能的，因为当通过透平机的蒸汽或水的消耗量固定而用户的負荷变化时，頻率將在極大的范围内变化 [参考文献 6]。用户和电力系統在保持頻率不变方面所提出的要求只能靠移动調速器特性曲綫的方法以改变透平机的蒸汽或水的入口的大小来滿足。

下面將簡略地研究最簡單的透平机調速器的作用原理和工作情况。

近代透平机所应用的調整裝置，由下列諸元件組成：

- a) 测量元件(摆)，
- b) 执行机构(閥)，
- c) 調整機構(节流閥或导水翼)，
- d) 装有手动或远距傳动(电傳动)裝置的改变轉速的机构。

圖 2 表示出調整机组轉速的簡化原理圖。

調整器按以下方式进行工作：当透平机轉子的轉速升高时，接合器 M 在旋轉重球 Γ 的离心力作用下，向上举起，而与滑閥 3 的桿相連的橫桿上的点 a 也一起上升。滑閥开啓

孔 a_1 及 a_2 。此时处在压力下的油通过导管 e 及孔 a_1 进入伺服机构的圆筒 B 内，并迫使活塞 H 向下移动。活塞下面的油通过孔 a_2 被压出。活塞移动 K 点以缩小蒸汽(或水)进入透平机的入口，同时移动点 b ，使滑阀恢复到中间的位置。这样，在稳定状态下， M 点和 K 点的新位置将与机组升高

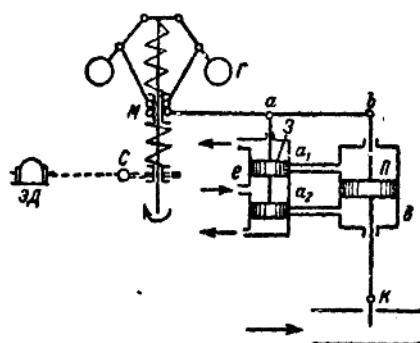


圖 2 調整機組轉速的原理圖

了的轉速和減小了的負荷相適應。機組轉速(或頻率)與負荷的關係曲線即為有差調節特性曲線，此曲線繪示於圖 3。圖中虛線表示特性曲線的移動(利用改變機組轉速的機械 C 來進行移動，見圖 2)。

特性曲線的移動可用手進行(作用於點 C)或在遠方進行(通過電動機 ∂II)。在只有一台工作機組時，可用向上或向下移動特性曲線的方法來改變交流頻率。在

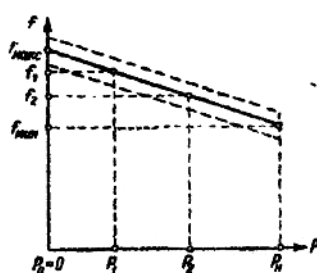


圖 3 調節系統的有差特性曲線

数台机组并列运行时，移动机组的特性曲线，便会引起各机组的负荷发生变化，由于负荷变化的结果，便发生频率的变化。

在发电机同期时，也要利用机构 C 。因此，在实际运用中，常常把它叫做同期装置（同期检定器），而电动机 $\exists \Delta$ 则叫做同期用的电动机。

1-2 调速器的特性

整个调节系统的有差特性是调速器的主要特性。

决定调速器工作情况的指标是：

- 调节的不均衡系数或不均衡度（通常用 δ 表示）；
- 调节系统的灵敏度 ϵ ；
- 有差特性曲线的移动范围。

图 3 所繪示的调节特性曲线 $f = F(P)$ 的斜度决定了机组调节的有差度。令 K 代表机组的调节有差度，它等于机组频率（或轉速）降低量的标么值 Δf^* ^① 与功率增加量的标么值 ΔP_1^* 之比：

$$K = \frac{\Delta f^*}{\Delta P_1^*}, \text{ 或 } K = \frac{\Delta f^*}{\Delta P_1^*} = 100\%, \quad (1)$$

式中 $\Delta f^* = \frac{f_1 - f_2}{f_n}$, 而 $\Delta P_1^* = \frac{P_2 - P_1}{P_n}$;

f_n 及 P_n ——频率与功率的額定絕對值^②。

若机组的调节特性曲线是直线，如图 3 所示的那样，则调节特性曲线上的任一点的调节有差度保持不变。

① 此处及以下的各种量的标么值都用角註*表示（例如 F^* 、 f^* 等）。

② 大家都知道，在自动调节的理論中，当调整对象具有下降的特性曲线时[在本例中，是 $f = F(P)$]，通常把有差度的量当作正的。

在特殊情况下，即当功率由空载至额定功率的变化为 $\Delta P_1^* = 1$ 时， K 在数值上将等于所调机组的调节不均衡系数或不均衡度①

$$\delta = \frac{f_{\max} - f_{\min}}{f_n}. \quad (2)$$

直线式的调速器有差特性曲线大多是出现在水力机组当中。

透平机组的调速器通常具有非线性的特性曲线，其形状如图 4 所示。因为这个缘故，调速器对于不同的负荷范围具有不同的 K 值。

曲线的 $a-b$ 及 $b-c$ 段较之中间的 $b-d$ 段具有更大的斜度。

在将发电机接入电网时，为了保证平稳地同期，便必须使第一段($a-b$)的斜度增大。

此外，增大这段特性曲线的斜度，在负荷低于技术最低值时（也就是约小于 P_n 的 20%），机组的功率便不致发生太大的变化。

第二段($b-d$)具有较小的斜度，故当分出机组以保持频率时，能够更精确地保持频率。

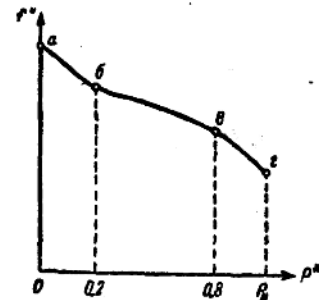


图 4 透平机组调节系统的特性曲线

① δ 的这种定义较之某些作者 [参考文献 8 和 13 等] 所提出的定义 $\delta = \frac{f_{\max} - f_{\min}}{f_{cp}}$ (式中 $f_{cp} = \frac{f_{\max} - f_{\min}}{2}$) 要方便些，因为当调整器的特性曲线移动时， f_{cp} 并非保持不变。

特性曲綫最後一段($\theta=2$)的斜度較大，这样可使机组在其功率約大于 $80\%P_n$ 的不經濟運轉的範圍內，能比較不灵敏地反应于頻率的变化。

由此可見，根据运行上的考虑，对透平机组而言，弯曲的有差調節特性曲綫是必要的。

調節特性曲綫的斜度是根据以下各点来选择的〔参考文献 8〕：

- a) 提高机组的調節穩定度；
- b) 維持机组負荷与頻率的准确度；
- c) 在并列运转的机组之間，按比例分配系統中的負荷冲动。

在研究調節的有差度时，假定調速器是理想地工作着，并且在同期机构的給定位置时，每一轉速或頻率的數值都有一个确定的机组負荷值与之相对应。实际上，实用調速器对于頻率的变化具有一定的不灵敏度，它用調速器的不灵敏区 ε_1^* 来表示。

利用均匀地（沒有跳动地）改变頻率的方法使机组所帶負荷由空載負荷($P=0$)加到負荷 $P=P_n$ ，同样，再均匀地減至 $P=0$ ，則記錄頻率表的讀数与功率的數值，便可得到在計及不灵敏区

时，机组的全部轉速調節系統的有差特性曲綫。此特性曲綫示于圖 5；其中 AB 線和 $A'B'$ 線為調節的不灵敏区的边界。

如用 f_1 与 f_2 代表調整器开始动作时頻率的絕對值，

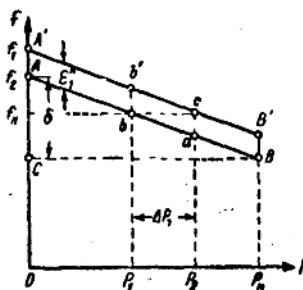


圖 5 考慮到不灵敏区 ε_1^* 时，
机组的調節特性曲綫

則調節的不灵敏度为：

$$\varepsilon_1^* = \frac{f_1 - f_2}{f_n} = \frac{\varepsilon_1}{f_n}, \text{ 或 } \varepsilon_1^* = \frac{f_1 - f_2}{f_n} 100\%. \quad (3)$$

正如以下所要指出的：机组保持负荷的精确度，频率调节的精确度以及机组间负荷分配的精确度三者，正如决定于 δ 的数值一样，也决定于 ε_1^* 的数值。

机组的负荷在原动机运行方式变化时，可能發生不定期的偶然的波动。由于存在有调节的不灵敏度，这种负荷波动并不能由调速器来控制。

这种负荷变化的范围，或者保持机组负荷不变的精确度，决定于 [参考文献 8] 关系式：

$$\Delta P_1 = \frac{\varepsilon_1^*}{\delta} P_n, \quad (4)$$

式中 ΔP_1 ——当频率变化，逐渐恢复到起初的数值时，机组负荷可能发生变化，而 P_n ——机组的额定功率。

公式(4)是根据图 5 中三角形 ABC 与 abc 相似的关系而得出的。

比值 $\frac{\varepsilon_1^*}{\delta}$ 决定了当频率显著变化时，保持机组负荷不变的精确度。兹举一例来说明：

假定在某种运行条件下，机组的不灵敏度与调节的不平衡度的数值为 $\varepsilon_1^* = 1\%$ 及 $\delta = 4\%$ ，此时，根据方程式(4)，保持功率不变的精确度将等于：

$$\Delta P_1 = \frac{1}{4} P_n, \text{ 或 } 25\% P_n.$$

这就是说，当调节特性曲线的位置如图 5 所示及频率降低了 ε_1^* （由点 b 到点 a ）时，机组的功率便从 P_1 变化到 P_2 ，其变化量为 ΔP_1 。随后频率升高到额定值时（由 a 到 c ），将

不使机组负荷再恢复到起初数值 P_1 。只有频率进一步升高到点 b' ，即升高到数值 $1 + \varepsilon_1^*$ 时，方能使机组功率降低 ΔP_1 ，即恢复到原数值而等于 P_1 。因之，当 f 在 $\pm \varepsilon_1^*$ 的范围内变化时，机组的功率将在 P_1 到 P_2 的范围内变化。显然，为了将机组负荷保持在一定的水平，必须对机组的调节加以外部作用。

因之，机组负荷的调节质量与机组调节系统的不灵敏度 ε_1^* 有着极大的关系。从此得出结论：用一次调速器调节频率时，其精确度与系统所有机组的 ε_1^* 值有关。

用准确的记录仪表所记录下来的系统内各机组的频率和负荷的变化，可以作为这一结论的显然的证明。如果记录下来的频率是锯齿曲线，就表示机组的调节存在有很大的不灵敏区。将各机组的功率表与频率表的读数加以比较，就可以得出这些机组的 ε_1^* 值。

各机组的 ε_1^* 值可以用试验的方法来决定。在系统工作于频率不变的状态时，先将调节系统的滑阀移动至降低机组负荷的方面，然后移至升高机组负荷的方面，而不移动调速器的特性曲线。

由第一次用力压下滑阀并平稳地放松它的结果，便定出在稳定方式下的 P_1 值，而当第二次移动滑阀时，相应地便得到 P_2 的值。如果 δ 的大小已经知道，则利用方程式(4)可以求出：

$$\varepsilon_1^* = \frac{P_2 - P_1}{P_n} \delta. \quad (5)$$

如上指出，比值 $\frac{\varepsilon_1^*}{\delta}$ 表示着保持机组负荷不变的精确度。

当调整调速器时，应尽可能求得最小的 ε_1^* 值，使得在这样

的 ε_1^* 值之下，机组调节系统不存在振荡现象。全部调节系统的 ε_1^* 值总是很少达到小于 0.4% 的数值 [参考文献 2, 8, 16]。在现代化的比较灵敏的调速器中， ε_1^* 值达到了 0.1% [参考文献 1, 13]。

当选择各个机组调节的不均衡度 δ 时，必须力求得到保持功率不变的较大的精确度。在任何情况下， ΔP_1 值不应超过 $0.1P_n$ 。因而，在上述的 ε_1^* 及 ΔP_1 的数值之下，按方程式(4)求得的 δ 的最小值将是：

$$\delta = -\frac{\varepsilon_1^*}{\Delta P_1} P_n = -\frac{0.4}{0.1 P_n} P_n = 4\%. \quad (6)$$

在这种情况下，减小 δ 的值，将使调节的质量变坏，也就是使 ΔP_1 的值增大，从经济的观点来看，这并不是人们所希望的事情。

在实际调整调速器时，对于特性曲线 $f=F(P)$ 的工作段所采取的 δ 值不超出以下范围：

$$\delta = 4 \sim 6\%. \quad (7)$$

这个范围是有限的。正如已经指出的， δ 的下部界限受限于获取很小 ΔP_1 的不可能性。由于其他原因 [参考文献 8]， δ 的上限也不可能再予提高。特别是对于透平机组，不推荐使 δ 值增大到超过 5%，因为在机组负荷全部卸去时，透平机的转速将产生动态升高，并且转速的相对值将大于调节的不均衡度 δ 而约为其 1.5—2 倍。在这种情况下，整定在超过额定转速 10—12% 的转速值上的透平机安全自动装置便可能发挥作用。

从调节频率以及将它保持在接近于额定值的水平上的观点来看， δ 值的增加也是不好的。

为了使负荷冲动均匀地分佈在并列运行的机组之间，必

須使各机组的 δ 值彼此相等，而其不灵敏度应为最小，并且也彼此相等。

实际上，在动力系統中，各透平机調速器的整定是不一样的，这就使机组的經濟运行方式受到破坏，并使頻率發生相当大的摆动。

如果有个别机组的 ε^* 及 δ 值小于其他机组，则这些个别机组将对頻率的調节起更大的作用。这种状况并非永远都符合动力系統經濟运行的要求。因此，在动力系統中，常將个别的机组与电厂作为主导机组而划分出来。

讓我們从頻率調節的精确度的观点上来討論选择主导电厂的一个例子。

假定主导电厂具有用来調節頻率的功率 ΔP_1^* ，此功率等于其本身容量的一半，且足够用来調節頻率。这个电厂的机组調節有差度在調節特性曲綫的工作段上为 $K=2\%$ 。根据公式(1)，得出在这种个别情况下頻率的最大偏移等于：

$$\Delta f^* = K \Delta P_1^* = 2 \times 0.5 = 1\%.$$

如果系統負荷的变化不超过 ΔP_1^* 的数值，則当充分利用了上述的备用功率 ΔP_1^* 时，頻率离开 f_n 之偏差值將不超过 ± 0.25 赫芝。这一頻率水平可用調速器本身来保持而不需移动調節特性曲綫，为了更精确的保持頻率不变，可利用手动或自动的方法来移动特性曲綫。

1-3 机组間負荷冲动的分配

在不移动調速器的調節特性曲綫时，并列工作的机组間負荷冲动 ΔP_1^* 的分配是根据在許多关于自動調節的書籍中所介紹过的众所週知的規律来进行的[参考文献 1 和 18 等]。

假定电力網的負荷冲动 ΔP_1^* 分配在兩台机组之間：